

## 模擬降雨による土壤侵食の水理的研究

山口大学工学部	正員	藤原 輝男
九州大学農学部		田熊 勝利
東京建設コンサルタント	正員	宮園 隆弘
山口大学工学部大学院	学生員	○中山 義一

### 1. 考え方

土壤侵食現象は、数多くの因子が関係し合って起きたため、単に降雨強度、斜面長、斜面傾斜などの個別の因子との関係を明らかにすることは十分でない。従って、土壤侵食現象に関する数多くの因子をとりあげ、侵食工量と各因子の間の関係を見い出すために、次元解析を行い、土壤侵食量を無次元表示した。そして、模擬降雨、人工斜面を用いた室内実験データーから得られた無次元量についての解析を行った。

### 2. 次元解析

土壤表面を走る表面流は、過剰降雨によって生じるもので、土壤表面にリルが生じて流れの集中がおきやすいのは、水深の小さい薄層流である。その表面流において、模擬降雨下の土壤侵食は次のようす変数に関係するものと仮定した。

$$\phi_B = f(V, R, I, \alpha, l, v, g, \rho, \rho_d, i, s) \quad (1)$$

$\phi_B$ : 侵食工量	$v$ : 水の動粘性係数
$V$ : 表面流速	$g$ : 重力加速度
$R$ : 径深	$\rho$ : 水の密度
$I$ : 降雨強度	$\rho_d$ : 土の乾燥密度
$\alpha$ : 流出土の平均粒径	$i$ : 斜面傾斜
$l$ : 斜面長	$s$ : 土の水中比重

(1)式より繰り返し変数を  $g, \alpha, \rho$  として、

$$\pi_1 = \frac{g \alpha^3}{\rho^2}, \quad \pi_2 = \frac{g \alpha}{V^2}, \quad \pi_3 = \frac{g \alpha l}{I^2}, \quad \pi_4 = \frac{\rho g}{\rho_d} \quad (2)$$

$$\pi_5 = \frac{\alpha}{R}, \quad \pi_6 = \frac{l}{R}, \quad \pi_7 = \frac{g \alpha^3}{V^3}$$

すると無次元量を得、次の関数形として(2)式を得た。

$$\frac{\phi_B}{\rho_d} = f\left(\frac{I}{\sqrt{g \alpha}}, \frac{V}{\sqrt{g \alpha}}, \frac{R}{\sqrt{g \alpha}}, \frac{l}{R}, \frac{\rho g}{\rho_d}, i, s\right) \quad (2)$$

それら此の変数を操作して、周知の無次元量を用い、(2)式を書きかえると(3)式で表わせら。

$$\phi = f(R_{ex}, R_{ei}, \psi, \frac{l}{R}, \frac{\alpha}{R}) \quad (3)$$

$$\therefore \text{て} \quad \phi = \frac{\phi_B}{\sqrt{g \alpha^3}}, \quad R_{ex} = \frac{I \alpha}{V}, \quad \psi = \frac{g R i}{\sqrt{g \alpha}} \quad , \quad R_{ei} = \frac{V R}{V}$$

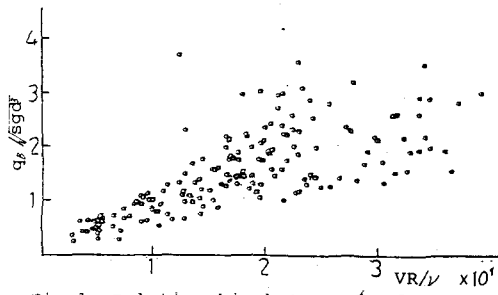


Fig.1 Relationship between  $\phi$  and  $Re$

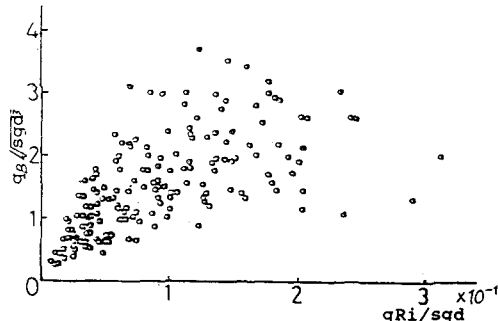


Fig.2 Relationship between  $\phi$  and  $\psi$

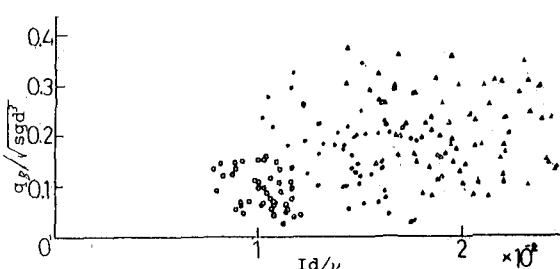


Fig.3 Relationship between  $\phi$  and  $Re_i$

### 3. 実験及び解析結果

模擬降雨及び、人工降雨を用い、 $\rho d = 1.4 \text{ g/cm}^3$  のとして、 $I = 45, 60, 75, 90 \text{ mm/hr}$ ,  $i = 5 \sim 30\%$ ,  $l = 2 \sim 5 \text{ m}$  として、室内実験を行い、そのデータについて無次元量解析を行った。Fig. 7～5 17.  $\phi$  とレイノルズ数  $Re$ 、揚流力  $q_B$ 、降雨レイノルズ数  $Re_I$ 、 $d/R$ 、 $l/R$  との関係をプロットしたものである。各山流域の回帰式は、指數型比较好のが最も相関が高く、次のようになつた。

$$\begin{aligned}\phi &= 1.41 \times 10^{-2} Re^{0.82} & \phi &= 0.629 \cdot \psi^{0.57} \\ \phi &= 0.20 \cdot (d/R)^{-0.25} & \phi &= 0.205 (l/R)^{-0.57} \\ \phi &= 3.68 \cdot Re_I^{0.70} & &\end{aligned}\quad (4)$$

以上の結果より、すべての無次元量を含む侵食量予測式を求めると、

$$\frac{q_B}{\sqrt{s} \rho d} = 0.25 \left( \frac{VR}{v} \right)^{0.52} \cdot \left( \frac{g R i}{s \rho d} \right)^{0.22} \cdot \left( \frac{d}{R} \right)^{0.15} \cdot \left( \frac{l}{R} \right)^{0.95 \times 10^{-2}} \cdot \left( \frac{Id}{v} \right)^{0.22} \quad (5)$$

$$\text{とすり、} g = 980 (\text{cm/sec}^2), \delta = 1.65 \text{ を代入して}$$

$$q_B = 8.25 R^{0.64} d^{1.19} I^{0.33} V^{0.52} l^{-0.85} v^{-0.27} l^{0.95 \times 10^{-2}} \quad (6)$$

を得た。すなはち、 $V, v, R$  については

$$\frac{Vd}{v} = 240 \cdot \left( \frac{Id}{v} \right)^{0.45} \cdot \left( \frac{l}{d} \right)^{0.95 \times 10^{-2}} \cdot i^{0.27} \quad (7)$$

$$\frac{R}{d} = 1.28 \cdot \left( \frac{Id}{v} \right)^{0.11} \cdot \left( \frac{l}{d} \right)^{0.35} \cdot i^{0.37} \quad (8)$$

を得るので、(7), (8)を(6)に代入して

$$q_B = 3.68 \cdot l^{0.22} d^{1.19} I^{0.63} v^{-0.63} i^{0.65} \quad (9)$$

とすり、(9)式を模擬降雨、人工斜面における土壤侵食予測式とした。

#### 4. 考察

Fig. 7, 2 の回帰曲線は原点を通ると思われ、侵食の起こらない限界レイノルズ数、限界揚流力を求めることはできないが、Fig. 3 によれば、 $d/R < 0.5$  の領域では、表面流による土壤侵食が起こり得らず、この領域では、リル侵食が起こり得ると考えられる。Fig. 6 には、同室内実験でのリル侵食についての実験結果  $\phi - VR/v$  を示したものである。 $\phi = 0.4, Re = 50 \sim 200$  附近に空白部分があり、これを境として  $\phi - Re$  特性が変化していくのが認められる。今後は、表面侵食からリル侵食への遷移領域についての水理的特性を明らかにしてゆくのが課題である。

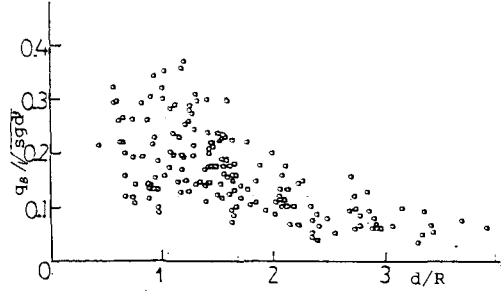


Fig. 4 Relationship between  $\phi$  and  $d/R$

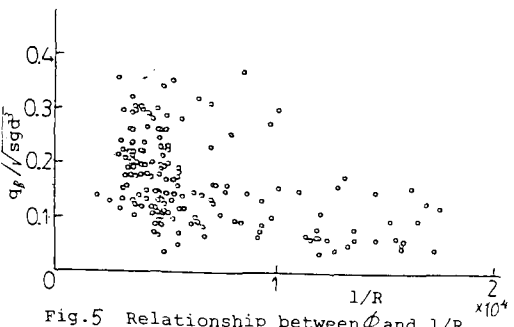


Fig. 5 Relationship between  $\phi$  and  $1/R \times 10^4$

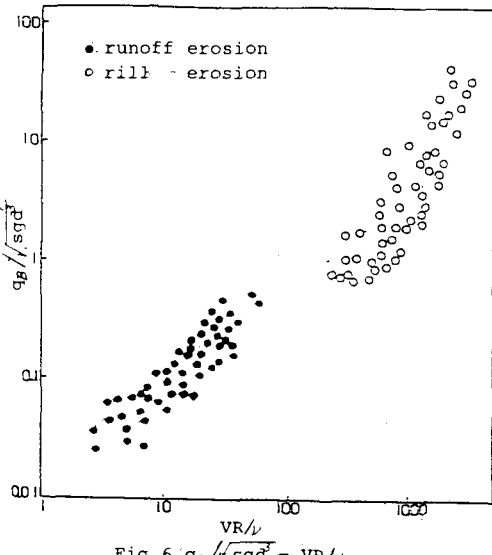


Fig. 6  $q_B/\sqrt{sqd}$  -  $VR/v$